

Reglerteknik

ERE091

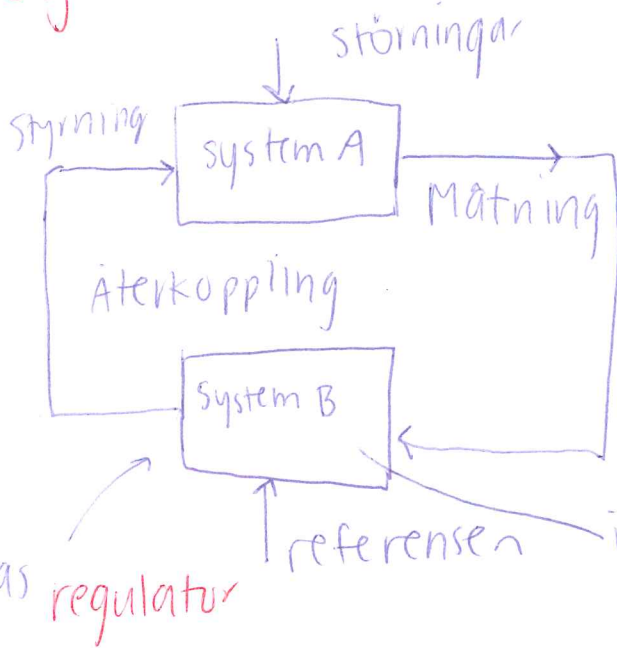
Föreläsare: Claes Breiholtz

Antecknare: Frida Ulander

Lp4 2013

Reglerteknik

18/3

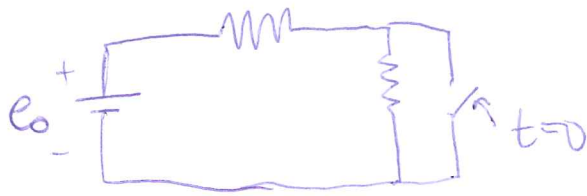


innehåller (oftast) en modell av system A (direkt eller indirekt)

Dynamiska system:

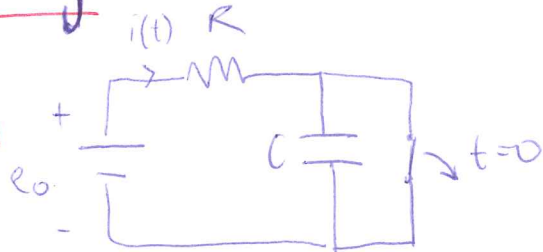
I ett statiskt system kan fysikaliska storheter, (tex temperatur, ström, tryck, hastig...) ändras omedelbart.

EX |



I ett dynamiskt system sker förändringar på ett trögt sätt.

EX |



För $t < 0$: $i(t) = e_0 / R$

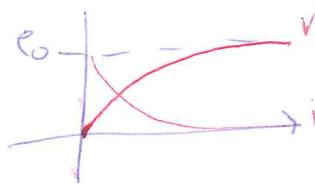
$$e_0 - R \cdot i - V = 0$$

$$i = C \frac{dv}{dt}$$

$$RC \frac{dv}{dt} + V = e_0 \quad v(0) = 0$$

$$V(t) = e_0 (1 - e^{-t/RC})$$

$$i(t) = \frac{e_0}{R} e^{-t/RC}$$

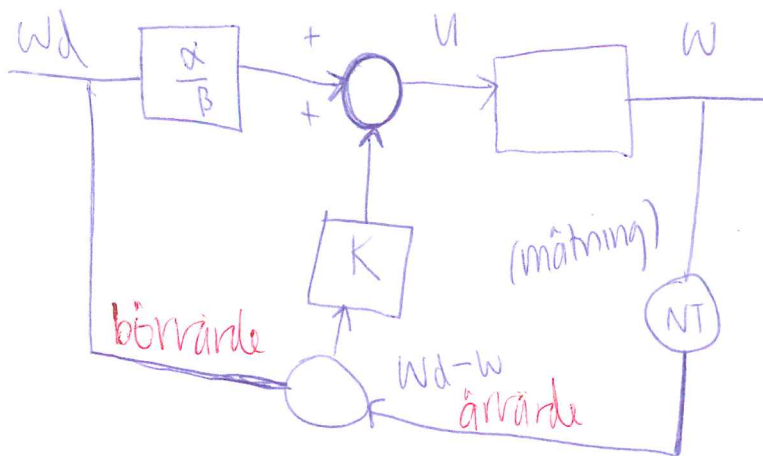


$$w(0) = w_d + \Delta w$$

$$w(t) = w_d + c e^{-(\alpha + \beta K)t} \quad (c = \Delta w)$$

$$w(t) = w_d + \Delta w e^{-(\alpha + \beta K)t}$$

$$K > 0$$

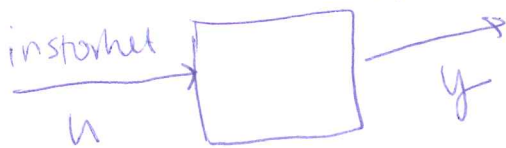


Reglersystem för konsthållning av hastigheten för en elmotor.

Differentialekvationsmodeller

Kursen fokuserar på tidsinvarianta, ordlinära diffekv. av typen

$$\frac{d^n y}{dt^n} = f \left[\underbrace{\frac{d^{(n-1)} y}{dt^{(n-1)}}}_{\text{utstorhet}}, y, \frac{d^{(n-1)} u}{dt^{(n-1)}}, \dots, u \right]$$



EX 1 $n=2$ $\frac{d^2 y}{dt^2} = f \left[\frac{dy}{dt}, y, \frac{du}{dt}, u \right]$

Med jämviktpunkt till systemet menas när ett konstant värdepar (y_0, u_0) : $0 = f[0, y_0, 0, u_0]$

Linearisering av systemet i en omgivning av jämviktpunkter. $\Delta y, \Delta u$

20/3

$$\frac{d^2 y}{dt^2} + a_1 \frac{dy}{dt} + a_2 y = b_1 \frac{du}{dt} + b_2 u$$

överföringsoperator

$$y(t) = \frac{b_1 p + b_2}{p^2 + a_1 p + a_2} u(t) \quad y(t) = G(p) u(t)$$

$$s^2 Y(s) - s y(0) - y'(0) + a_1 s Y(s) - a_1 y(0) + a_2 Y(s) = b_1 s U(s) - b_1 u(0) + b_2 U(s)$$

$$Y(s) = \frac{b_1 s + b_2}{s^2 + a_1 s + a_2} U(s) + \frac{s y(0) + y'(0) + a_1 y(0) - b_1 u(0)}{s^2 + a_1 s + a_2}$$

Antag BV är reell.

$$Y(s) = G(s) U(s)$$

överföringsfunktion

systemets

Nämnaren hos $G(s)$ satt = 0 kallas karakteristiska ekvation (KE) och dess rötter kallas **Poler**. Täljaren satt till 0 ger **nollställena**.

poler: $s^2 + a_1 s + a_2 = 0$ nollställen: $b_1 s + b_2 = 0$

$$y(t) = \mathcal{L}^{-1}(Y(s)) = \mathcal{L}^{-1}(G(s)U(s))$$

$$y(t) = \int_0^{\infty} u(t-\tau) g(\tau) d\tau = \int_0^{\infty} g(t-\tau) u(\tau) d\tau$$

$$y(t) = \int_0^t g(\tau) u(t-\tau) d\tau$$

$$g(t) = \mathcal{L}^{-1}(G(s)) \quad \text{viktfunction}$$

$$\delta(t) = \begin{cases} \infty & \text{för } t=0 \\ 0 & t \neq 0 \end{cases} \quad \int_{\mathbb{R}} \delta(t) dt = 1 \quad \mathcal{L}(\delta(t)) = 1$$

Ex $G(s) = b_1 s^{n-1} + \dots + b_{n-1} s + b_n$

$s^n + a_1 s^{n-1} + \dots + a_{n-1} s + a_n$ "enkla rötter"

Vi antar (tills vidare) att rötterna är distinkta $\lambda_1, \dots, \lambda_n$

$G(s) = \frac{b_1 s^{n-1} + \dots}{(s-\lambda_1)(s-\lambda_2)\dots(s-\lambda_n)} = \frac{M_1}{s-\lambda_1} + \frac{M_2}{s-\lambda_2} + \dots + \frac{M_n}{s-\lambda_n}$

$g(t) = \mathcal{L}^{-1}\{G(s)\} = M_1 e^{\lambda_1 t} + M_2 e^{\lambda_2 t} + \dots + M_n e^{\lambda_n t}$ $\mathcal{L}^{-1}\left\{\frac{1}{s-a}\right\} = e^{at}$

$|g(t)| = |M_1 e^{\lambda_1 t} + \dots| \leq |M_1| e^{\text{Re}\{\lambda_1\}t} + |M_2| e^{\text{Re}\{\lambda_2\}t} + \dots + |M_n| e^{\text{Re}\{\lambda_n\}t}$
 $(|e^{\lambda t}| = |e^{\text{Re}\{\lambda\}t + i\text{Im}\{\lambda\}t}| \leq |e^{\text{Re}\{\lambda\}t}| \cdot |e^{i\text{Im}\{\lambda\}t}| = |e^{\text{Re}\{\lambda\}t}|)$

$\int_0^\infty |g(t)| dt \leq |M_1| \int_0^\infty e^{\text{Re}\{\lambda_1\}t} dt + \dots + |M_n| \int_0^\infty e^{\text{Re}\{\lambda_n\}t} dt$

SATS Systemet är insignal-utsignalstabil om samtliga poler i dess överföringsfunktion har strikt negativ realdel.
 Om åtminstone en pol har positiv (strikt) realdel är systemet instabil. (gäller även för multipla poler)

Routh's kriterium

Satsen säger att antalet teckenväxlar i vänsterekolumnen = antalet rötter i HHP

EX $\frac{b_1 s^3 + \dots + b_4}{s^4 + 2s^3 + 6s^2 + 4s + 3}$

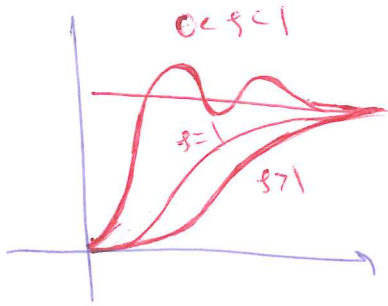
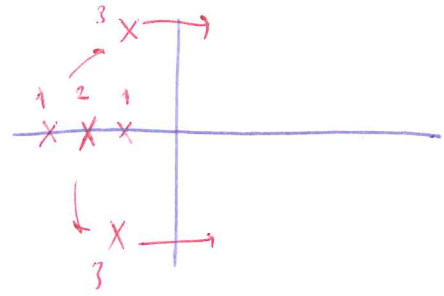
K.E. $s^4 + 2s^3 + 6s^2 + 4s + 3 = 0$

s^4	1	6	3	0
s^3	2	4	0	0
s^2	$\frac{2 \cdot 6 - 1 \cdot 4}{2} = 4$	$\frac{2 \cdot 3 - 0}{2} = 3$	0	0
s^1	$\frac{2}{2} = 1$	0	0	0
s^0	3	0	0	0

inga teckenväxlar!
 → inga poler i HHP!
 Stabilt system

Fall 3. $0 < \zeta < 1$ $s_{1,2} = -\zeta\omega_0 \pm i\omega_0\sqrt{1-\zeta^2}$

Fall 4. $\zeta < 0$ $\Rightarrow \operatorname{Re} s_{1,2} < 0$



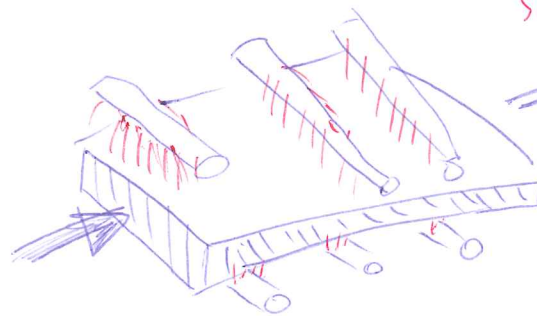
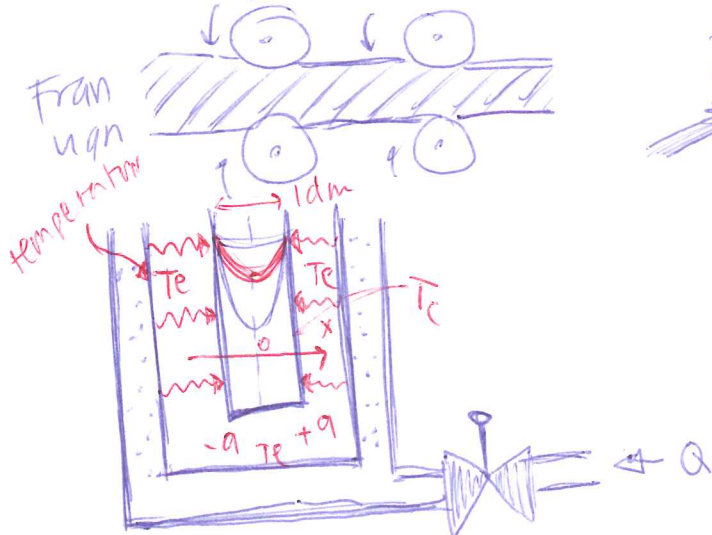
8/4 Modelleringsexempel: Upphettning av stålämne

Ett långt och brett stålämne ($10\text{m} \times 1\text{m} \times 1\text{dm}$) skall upphetas i en ugn så att stålet mjuknar (ca 1000°C). Stålämnet skall ~~sk~~ tunnast ut från

1dm till $1\text{--}2\text{ cm}$ (grovplåt). Ämnet pressas genom en serie av valspar, så att det successivt blir tunnare. Made stålet inte varit tillräckligt varmt hade det mestadels påkänningarna blivit så stora att lagren (där valsarna är upphängda)

"pajat"

"approximativt symmetrisk uppvärmning"



Pga antagen symmetri räcker det att studera halva stål-ämnet, t ex högra halvan.

• Vi önskar härleda en överf. funktion och sätter därför begynnelse temp. fördelning $T(x,0) = T_0 = 0$

• Pga symmetri gäller $\phi(0,t) = \kappa \frac{\partial T}{\partial x} \Big|_{x=0} = 0$

dvs $T'_x(0,t) = 0$

• Dessutom har man $T(a,t) = T_s(t)$

Olinjär relation mellan bränsleflödet q och T_s .

Vi kan dock anta en (approximativt) linjär

relation mellan q och T_e : $\underbrace{\alpha q}_{\text{litet}} \frac{dT_e}{dt} + T_e = \underbrace{\delta \cdot q}_{\text{bestäms experimentellt}}$

$T_e \approx \delta \cdot q$

Bestäm $\Phi_0(t) = \phi(a,t) = \sigma (T_e^4(t) - T_s^4(t))$

enligt Stefan-Bolzmanns strålningslag

$\Phi_0 = \sigma (T_e - T_s) (T_e^3 + T_e^2 T_s + T_e T_s^2 + T_s^3)$ $(T_e \approx T_s)$

Pyrometri: optisk mätning av lytemperatur

Antag att T_e reglerar till värdet Θ

$\Phi_0 \approx 4\Theta^3 \sigma (\Delta T_e - \Delta T_s)$

$T_e = \Theta + \Delta T_e$
$T_s = \Theta + \Delta T_s$

(små)

I närheten av Θ :

$\rho C_p \frac{\partial \Delta T}{\partial t} = \kappa \frac{\partial^2 \Delta T}{\partial x^2}$ ①

$\Delta T(x,0) = 0$

$\Delta T'_x(x,0) = 0$

$\kappa \Delta T'_x(a,t) = \sigma 4\Theta^3 (\Delta T_e - \Delta T_s) = \sigma 4\Theta^3 (\delta \cdot \Delta q - \Delta T(a,t))$ ②

$$G(s) = \frac{\Delta T_s(B)}{\Delta \hat{q}(s)} = \frac{\gamma}{1 + M(\beta a) + \tanh(\beta a)}$$

$\sqrt{\frac{\rho c p a^2}{K}} \cdot \sqrt{s}$

$$G = \frac{\gamma \cosh \beta a}{\cosh \beta a + M \underbrace{\sin \beta a}_{\beta a}} = \frac{\gamma \left(1 + \frac{\beta^2 a^2}{2!} + \frac{\beta^4 a^4}{4!} + \dots\right)}{\left(1 + \frac{\beta^2 a^2}{2!} + \frac{\beta^4 a^4}{4!} + \dots\right) + M \beta a \left(\beta a + \frac{\beta^3 a^3}{3!} + \dots\right)}$$

$$= \frac{\gamma \left(1 + \frac{\beta^2 a^2}{2!} + \frac{\beta^4 a^4}{4!} + \dots\right)}{1 + \left(M + \frac{1}{2}\right) \beta^2 a^2 + \left(\frac{M}{3!} + \frac{1}{4!}\right) \beta^4 a^4 + \dots}$$

$$1 + \left(M + \frac{1}{2}\right) \beta^2 a^2 + \left(\frac{M}{3!} + \frac{1}{4!}\right) \beta^4 a^4 + \dots$$

$$M = \frac{K}{4\pi\theta^3} \quad \beta^2(s) = \frac{SCp\rho}{K}$$

För låga frekvenser duger approximationen

$$G(s) = \frac{\gamma \left(1 + \tau s/2 + \tau^2 s^2/24\right)}{1 + \left(M + \frac{1}{2}\right) \tau s + \left(\frac{M}{6} + \frac{1}{24}\right) \tau^2 s^2}$$

$$G(s) = \frac{\gamma (1 + \tau s/2)}{1 + \frac{2M+1}{2} \tau s}$$

$$\left\{ \begin{array}{l} \tau \approx 0,426 \text{ min, för } \omega = 1000 \rightarrow \\ M = 1,9235 \end{array} \right. \rightarrow G(s) = \frac{\gamma (1 + 13s)}{1 + 65s}$$

$$\left. \begin{aligned} u - R_1 i_1 - V_1 &= 0 \\ u - R_1 i_1 - R_2 i_2 - V_2 &= 0 \\ i_1 - i_2 &= 0 \end{aligned} \right\} \text{Kirchhoff}$$

$$i_1 = C \dot{V}_1 \quad i_2 = C \dot{V}_2$$

$$\begin{bmatrix} \dot{V}_1 \\ \dot{V}_2 \end{bmatrix} = \begin{bmatrix} -\frac{2}{RC} & \frac{1}{RC} \\ \frac{1}{RC} & -\frac{1}{RC} \end{bmatrix} \begin{bmatrix} V_1 \\ V_2 \end{bmatrix} + \begin{bmatrix} \frac{1}{RC} \\ 0 \end{bmatrix} u \quad (1)$$

Detta är ett exempel på en intern modell

$$i = \begin{bmatrix} -1/R & 0 \end{bmatrix} \begin{bmatrix} V_1 \\ V_2 \end{bmatrix} + \left(\frac{1}{R}\right) u \quad (2)$$

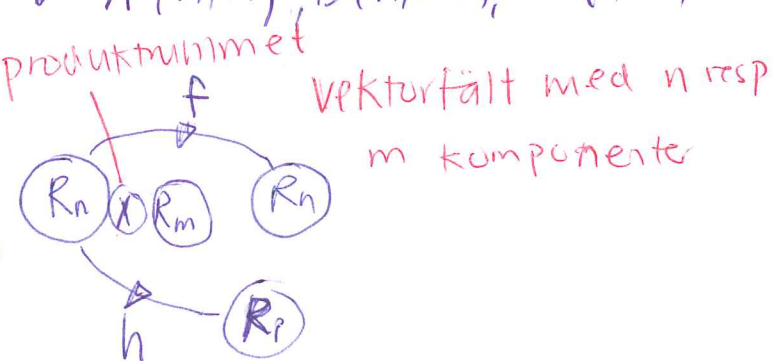
Vi kallar vektorn $\begin{bmatrix} V_1 \\ V_2 \end{bmatrix}$ för tillståndsvektor, V_1 och V_2 för tillståndsstorheter. (1) för tillståndsekvation och (2) för utsignalekvation. (1) och (2) utgör tillsammans en linjär tillståndsmodell. (LTI-typ)

Allmännare: x är tillståndsvektorn, u insignalen, y utsignalen.

$$\begin{cases} \dot{x}(t) = Ax(t) + Bu(t) & (3) \\ y(t) = Cx(t) + Du(t) & (4) \end{cases} \quad \text{Linjär LTI-modell}$$

$x \in \mathbb{R}^n \quad u \in \mathbb{R}^m \quad y \in \mathbb{R}^p \Rightarrow A(n,n), B(n,m), C(p,n), D(p,m)$

$$\begin{aligned} \dot{x}(t) &= f(x(t), u(t)) & (5) \\ y(t) &= h(x(t), u(t)) & (6) \end{aligned}$$



- SISO-fallet
 - n $x \in \mathbb{R}^n$
 - $m=1$ $u \in \mathbb{R}$
 - $p=1$ $y \in \mathbb{R}$

$$g(t) = C \mathcal{L}^{-1} \{ (sI - A)^{-1} \} B + D \cdot \delta(t)$$

$$D=0 \quad \underbrace{C=C^T \quad B=b}_{(rad + kolonnvektor)}$$

$$\frac{1}{\det(sI - A)}$$

polynom av grad n.

$$G(s) = \frac{b_1 s^{n-1} + \dots + b_n}{s^n + \dots + a_n} = 0$$

alla rötter i V.K.P. \rightarrow insignal-utsignalstabilit.

$\det(sI - A) = 0 \rightarrow$ poler, egenvärden till matrisen A.

Jm matrisen A har ~~strikt stabila egenvärden~~ samtliga egenvärden strikt inne i V.K.M.P är systemet (z), (y) stabilt.

$$x = Tz$$

$$\dot{x} = T\dot{z} = ATz + Bu$$

$$\dot{z} = (T^{-1}AT)z + (T^{-1}B)u$$

$$y = (CT)z + Du$$

$$G_T(s) = CT(sI - T^{-1}AT)^{-1}T^{-1}B + D$$

$$\dots = G(s)$$

$$(PQ)^{-1} = Q^{-1}P^{-1}$$

$$G(s) = \frac{b_{n-1}s^{n-1} + \dots + b_{n-1} + b_n}{s^n + \dots + a_1s^{n-1} + \dots + a_{n-1}s + a_n} + d$$

• Styrbar kanonisk form

$$\dot{x} = \begin{bmatrix} -a_1 & -a_2 & \dots & -a_{n-1} & -a_n \\ 1 & 0 & \dots & 0 & 0 \\ 0 & 1 & \dots & \dots & \dots \\ \vdots & \vdots & \dots & \dots & \dots \\ 0 & \dots & \dots & \dots & \dots \end{bmatrix} x + \begin{bmatrix} 1 \\ 0 \\ \vdots \\ 0 \end{bmatrix} u$$

SATS Minimal realisation \leftrightarrow både styrbart, observerbart

$$\dot{x}(t) = Ax(t) + Bu(t), x(0) = x_0 \quad \textcircled{1}$$

konstanta

Def $\Phi(t)$ ($n \times n$ -matris) är lösning till följande begynnelsevärdesproblem:

$$\frac{d}{dt} \Phi(t) = A\Phi(t), \Phi(0) = I$$

$$\Phi(t) = [\varphi_{ij}(t)] \quad \varphi_{ij}(0) = \delta_{ij}$$

SATS Lösningen till $\textcircled{1}$ är:

$$x(t) = \Phi(t)x_0 + \int_0^t \Phi(t-\tau)Bu(\tau)d\tau$$

Bevis $x(0) = \Phi(0)x_0 + \int_0^0 \dots dz$
 $= x_0 I$

$$\frac{d}{dt} x(t) = \dot{\Phi}(t)x_0 + \frac{d}{dt} \int_0^t \Phi(t-\tau)Bu(\tau)d\tau$$

$$= A\Phi(t)x_0 + \underbrace{\Phi(t-\tau)}_{=0} Bu(t) + \int_0^t \frac{d\Phi(t-\tau)}{d(t-\tau)} \frac{d(t-\tau)}{dt} \cdot Bu(\tau)d\tau$$

$$= A\Phi(t)x_0 + I \cdot Bu(t) + \int_0^t \underbrace{\dot{\Phi}(t-\tau)}_{=0} \cdot 1 \cdot Bu(\tau)d\tau$$

$$= A\Phi(t)x_0 + Bu(t) + A \int_0^t \underbrace{\Phi(t-\tau)}_{=0} Bu(\tau)d\tau$$

$$= A[\dots] + Bu(t)$$

Sats $\Phi(t_1 + t_2) = \Phi(t_1) \cdot \Phi(t_2)$

Sats $\begin{cases} \dot{X}(t) = AX(t) + Bu(t) \\ X(t_0) = X_0 \end{cases} \Rightarrow X(t) = e^{A(t-t_0)} X_0 + \int_{t_0}^t e^{A(t-\tau)} B u(\tau) d\tau$

Cayley-Hamiltons sats

Varje kvadratisk matris uppfyller sin egen karakteristiska ekvation.

$$\det(\lambda I - A) = \lambda^n + a_1 \lambda^{n-1} + \dots + a_n = 0$$

Låt $\lambda = A \Rightarrow A^n + a_1 A^{n-1} + \dots + a_n I = 0$

$$A^n = -a_1 A^{n-1} - a_2 A^{n-2} - \dots - a_{n-1} A - a_n I$$

$$A^{n+1} = -a_1 A^n - a_2 A^{n-1} - \dots - a_{n-1} A^2 - a_n A = \dots = (a_1^2 - a_2) A^{n-1} + (a_1 a_2 - a_3) A^{n-2} + \dots + (a_1 a_{n-1} - a_n) A + a_1 a_n I$$

A^{n+2} etc...

En konsekvens av C-H:s sats är att varje potens av A större än $(n-1)$ kan uttryckas som en summa av formen $p_0 I + p_1 A + \dots + p_{n-1} A^{n-1}$

$$\Rightarrow e^{At} = I + At + \frac{A^2 t^2}{2!} + \dots + \frac{A^{n-1} t^{n-1}}{(n-1)!} + \dots = f_0(t) \cdot I + f_1(t) \cdot A + \dots + f_{n-1}(t) \cdot A^{n-1}$$

Betrakta LTI-systemet $\dot{X} = AX + BU$

En tillst. vektor x^* sägs vara styrbar om det finns en ändlig styrsignal $u(t)$ som på ändlig tid för $x(t)$ från origo till x^* . Om alla tillstånd är styrbara sägs systemet vara **styrbart**.

Sats | Mängden av styrbara tillståndsvektorer är det linjära rum som spänns av kolonnerna i matrisen $S = [B, AB, \dots, A^{n-1}B]$, dvs av dess rangrum.

Speciellt om $u \in \mathbb{R}$, gäller att ~~om~~ systemet är styrbart om $\det(S) \neq 0$.

Bewis | Fallet $u \in \mathbb{R}$ $x(T) = e^{AT} \cdot \underbrace{x(0)}_{=0} + \int_0^T e^{A(T-t)} Bu(t) dt$

$$= \int_0^T \sum_{k=0}^{n-1} f_k(T-t) A^k B u(t) dt = \sum_{k=0}^{n-1} A^k B \cdot \underbrace{\int_0^T f_k(T-t) u(t) dt}_{M_k}$$
$$= M_0 B + M_1 A B + \dots + M_{n-1} A^{n-1} B$$

17/4 | **Def.** Tillståndsvektorn $x^* \neq 0$ sägs vara icke-observerbar (tyst) om utsignalen $y(t) \equiv 0$ då initialtillståndet är x^* och insignalen $u(t) \equiv 0$. Systemet sägs vara observerbart om det saknar icke-observerbara tillståndsvektorer.

insignaler r, v

utsignaler e, u, y

$$y = G(u+v)$$

$$E = R - y$$

$$U = F \cdot E$$

$$y(s) = \frac{G(s)F(s)}{1 + G(s)F(s)} \cdot R(s) + \frac{G(s)}{1 + G(s)F(s)} \cdot V(s)$$

$$E(s) = \frac{1}{1 + G(s)F(s)} \cdot R(s) - \frac{G(s)}{1 + G(s)F(s)} \cdot V(s)$$

$$U(s) = \frac{F(s)}{1 + G(s)F(s)} R(s) - \frac{G(s)F(s)}{1 + G(s)F(s)} V(s)$$

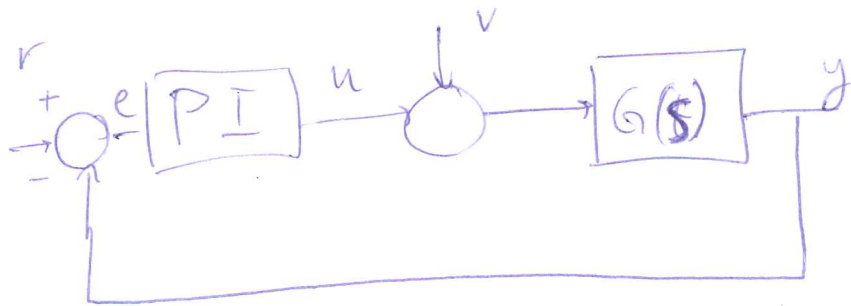
$$\begin{bmatrix} Y \\ E \\ U \end{bmatrix} = \begin{bmatrix} G_{ry} & G_{vy} \\ G_{re} & G_{ve} \\ G_{ru} & G_{vu} \end{bmatrix} \begin{bmatrix} R \\ V \end{bmatrix}$$

Polerna för det återkopplade systemet ges av dess karakteristiska ekvation:

$$1 + G(s)F(s) = 0$$

EX $G(s) = \frac{1}{s-1}$ $F(s) = K$ (instabilitet)

$$\frac{K}{s-1} + 1 = 0 \quad s = 1 - K, \quad K > 1 \text{ för stabilitet.}$$



$v(t) = \sigma(t)$ enhetssteg

$$v(s) = \frac{1}{s}$$

$$F(s) = K_p + \frac{K_i}{s} \quad E(s) = G_{ve}(s) \cdot v(s) = \frac{-G(s)}{1 + G(s)F(s)} \cdot v(s)$$

$$= \frac{-G(s)}{s + G(s)(K_p s + K_i)}$$

$$G(s) = \frac{\gamma}{s^l} \cdot G_0(s) \quad l = 0, 1, 2, (3, \dots)$$

$$G_0(0) = 1$$

$$G = \frac{s+5}{s^3+2s^2} = \frac{5}{2} \cdot \frac{1}{s^2} \cdot \frac{1+s/5}{1+s/2} \rightarrow G_0$$

$$E(s) = \frac{-\gamma \cdot G_0(s)}{s^{l+1} + \gamma G_0(s)(K_p s + K_i)}$$

$$e(\infty) = \lim_{s \rightarrow 0} sE(s) = \frac{-\gamma s \cdot G_0(s)}{s^{l+1} + \gamma G_0(s)(K_p s + K_i)}$$

① $K_i \neq 0 \rightarrow e(\infty) = 0$

② $K_i = 0 \rightarrow e(\infty) = \lim_{s \rightarrow 0} \frac{-\gamma s}{s^{l+1} + \gamma (K_p s + K_i)} = \begin{cases} -\frac{1}{K_p} & l > 0 \\ -\frac{\gamma}{1 + \gamma K_p} & l = 0 \end{cases}$

Pol i $z=a$ med mult. m ,

$$f(z) = (z-a)^m g(z)$$

$$\frac{f'(z)}{f(z)} = \frac{-m}{z-a} + \frac{g'(z)}{g(z)} \rightarrow$$

enkel pol ~~an.~~ för $z=a$

med residyn $-m$.

Summan är residyer vid nollställen är z

Motsv. summa vid poler är P .

Residuysatsen säger att

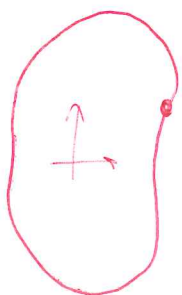
$$\oint_C F(z) dz = 2\pi i \sum \text{Res}$$

$$\frac{1}{2\pi i} \oint_C F(z) dz = \int_C \frac{f'(z)}{f(z)} dz$$

Man finner att $f'(z)/f(z)$ är en exakt differential

$$\int_C F(z) dz = \int_C \frac{f'(z)}{f(z)} dz = \int_C \frac{d}{dz} [\log f(z)] dz = [\log f(z)]_{z_1}^{z_2}$$

$$\log [f(z)] = \log [|f(z)| e^{j \arg(f(z))}] = \log |f(z)| + i \arg \{ f(z) \}$$

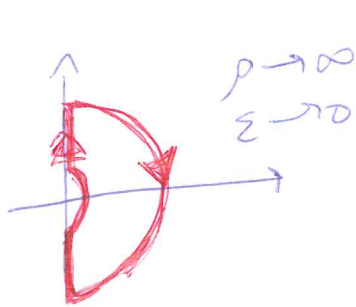
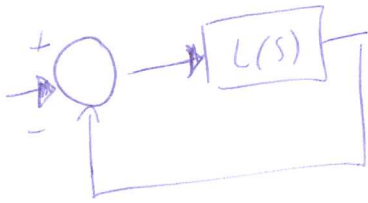


$$= 0 + i \arg \{ f(z_2) \} - i \arg \{ f(z_1) \} = i \Delta_C \arg f(z)$$

$$\frac{1}{2\pi} \oint_C \frac{f'}{f} dz = \frac{i \Delta_C (\dots)}{2\pi} = iN$$

0 för slutet kurva.

$$L(s) = \frac{1}{s} e^{-s} \left(\hat{=} \frac{1}{s} \frac{1-s/2}{1+s/2} \text{ f. lägra frekvenser.} \right)$$



$$s = i\omega \quad L(s) = L(i\omega) = \frac{e^{-i\omega}}{i\omega}$$

$$|L| = \frac{1}{\omega} \quad \angle L = -\frac{\pi}{2} - \omega$$

$$s = -i\omega \rightarrow L(s) = -\frac{e^{i\omega}}{i\omega}$$

$$|L| = \frac{1}{\omega} \quad \angle L = -\frac{\pi}{2} + \omega$$

$$s = \rho e^{i\theta} \rightarrow \rho \cos \theta + i \rho \sin \theta$$

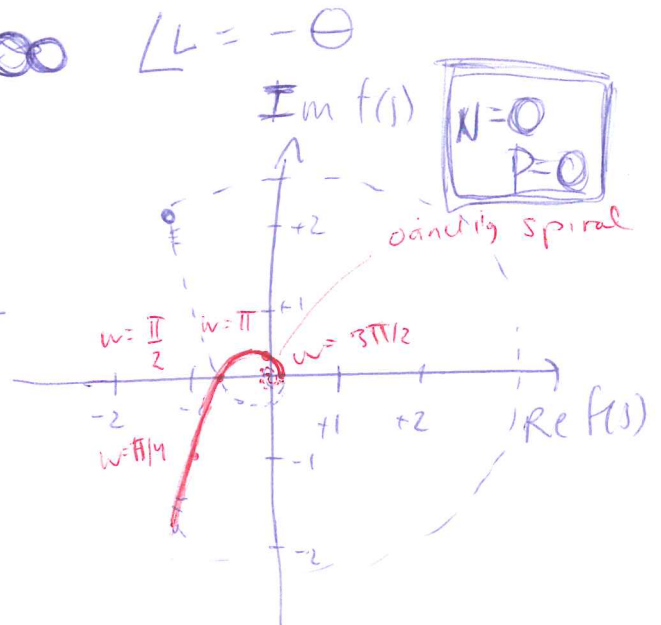
$$\frac{1}{s} e^{-s} = \frac{e^{-i\theta}}{\rho} \cdot e^{-\rho \cos \theta} \cdot e^{-i \rho \sin \theta}$$

$$|L| \rightarrow 0 \quad L(s) = \frac{e^{-i\theta}}{\epsilon} \cdot e^{-\epsilon \cos \theta} \cdot e^{-i \epsilon \sin \theta}$$

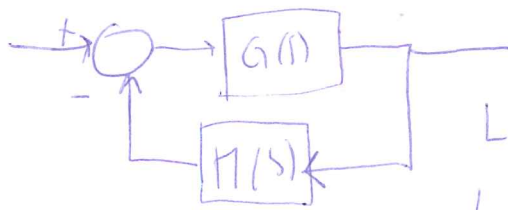
Låt ϵ bli "extremt" litet

$$L(s) \approx \frac{e^{-i\theta}}{\epsilon} \quad |L| \rightarrow \infty \quad \angle L = -\theta$$

ω	$ L $	$\angle L$
0	∞	$-\pi/2$
$\pi/4$	$4 \times 1,27$	$-3\pi/4$
$\pi/2$	$\frac{\pi}{2}$	$-\pi$
π	$\frac{1}{\pi}$	$-3\pi/2$
$3\pi/2$	0,21	-2π
∞	0	$-\infty$



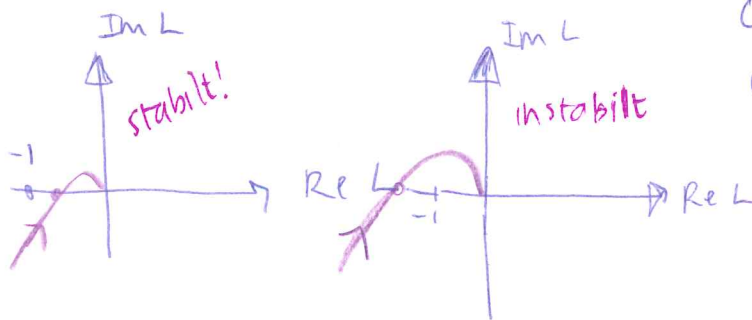
Det förenklade Nyquistkriteriet



Kretsöverf. $L(s) = G(s)H(s)$

$L(s)$ är sådan att frekvensfunktionen $L(i\omega)$ är välföreländad $\rightarrow P=0$

Upprita $L(i\omega)$ i ett komplext bildplan för $s = i\omega$ då $\omega \in [0, \infty)$



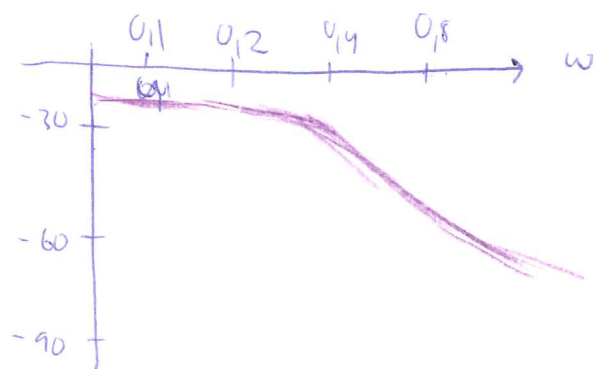
Om Nyquistkurvan, för ökande frekvens, står realaxeln till höger om -1 är återkopplade systemet stabilt.

Bodediagram

Antag, som vid förenklade Nyquistkriteriets användning, att frekvensfunktionen $L(i\omega)$ är välföreländad,

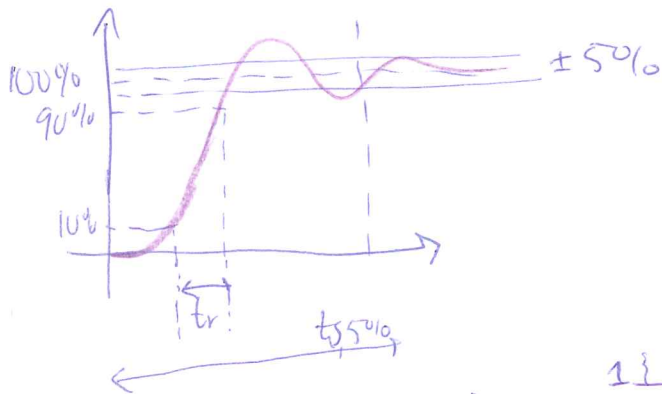
Bodediagrammet innebär uppriktning av $|L|$ och \angle var för sig som fun av ω . För att få med ett bredare frekvensintervall, används normalt log-skala för frekvensen.

EX $L(s) = \frac{10}{s+2} = \frac{5}{(1+s/2)}$
 $\angle L = \arg L(i\omega) = -\arctan(\omega/2)$

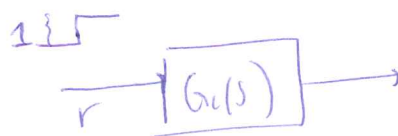


Mått på snabbhet

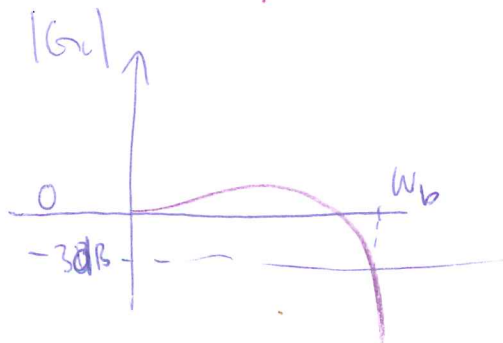
Stigtid (t_r) och insvängningstid t_s i tidsplanet och bandbredd (ω_b) i frekvensplanet



$$G_c(s) = \frac{L(s)}{1+L(s)}$$



$\frac{L(0)}{1+L(0)}$ om $L(s)$ inte innehåller någon integration
 1 om $L(s)$ innehåller integration



$$|G_c(i\omega_b)| = \frac{|G_c(0)|}{\sqrt{2}}$$

29/4 Design av reglersystem

• Mått på noggrannhet: $|e| \leq \eta$ $|e(\infty)| \leq \epsilon$
 $\int |e| dt \leq \beta$ $\int e^2 dt \leq \gamma$

• Mått på snabbhet: stigtid
 insv. t.d.

• Mått på stabilitet

Vi utgår då från att förutsättningarna för Nyquists förenklade kriterium gäller, dvs att $L(i\omega)$ är väldefinierad.
 (frekvensfunktionen)

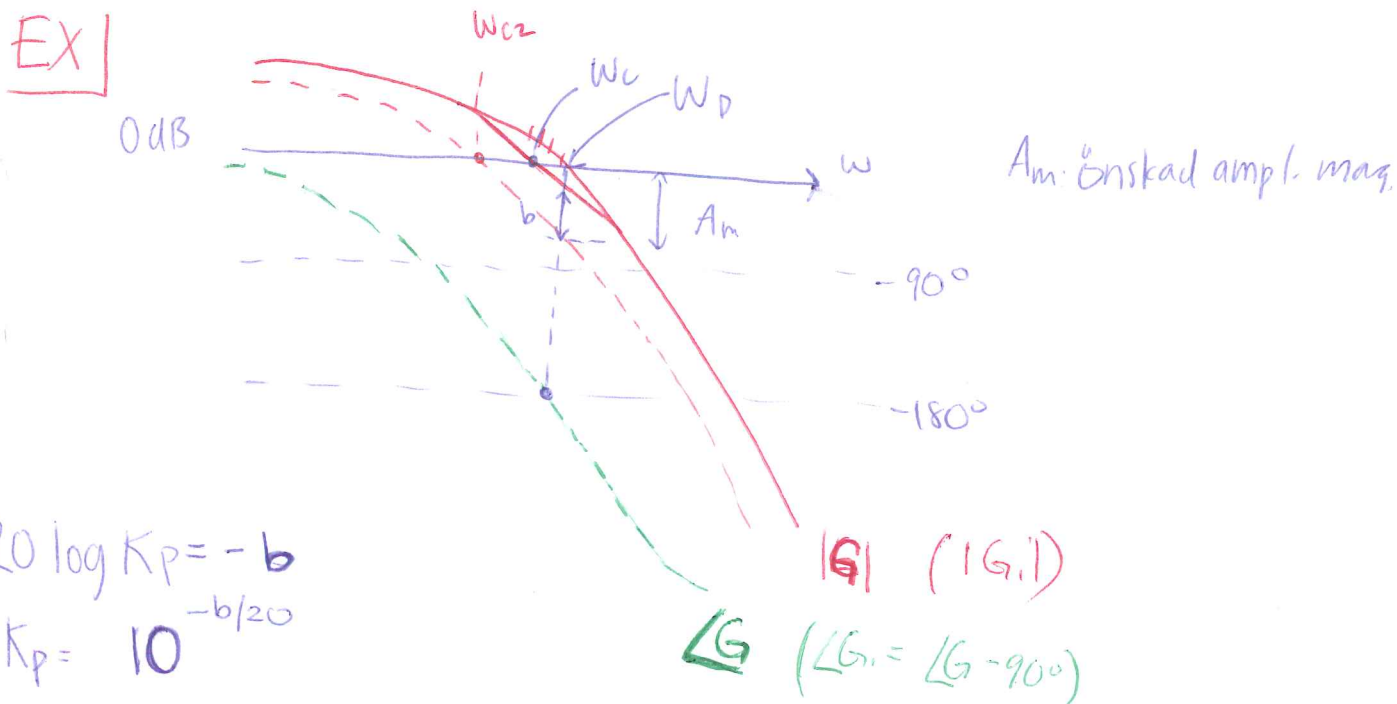
~~Essential~~

o Metod för I-regulator:

Bilda nu processmodell

$$G_i(s) = \frac{G(s)}{s} \quad \text{och bestäm sedan } K_i \text{ som en P-reg.}$$

för G_i istället för G .



$$20 \log K_p = -b$$

$$K_p = 10^{-b/20}$$

Design av PI-regulatorer

En regulator m. överf. funktionen

$$F(s) = K_p \frac{1 + \tau_i s}{\gamma + \tau_i s}, \quad \text{där } 0 < \gamma < 1 \text{ kallas ett lagfilter}$$

och används för att öka noggrannheten i ett återkopplat system, utan att öka antalet integrationer i kretsen.

$$\text{Låt } \gamma \rightarrow 0 \Rightarrow F(s) = K_p \left(1 + \frac{1}{\tau_i s} \right)$$

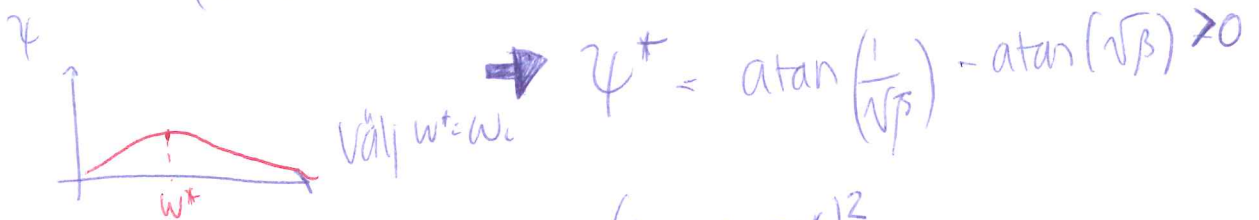
Krav på ω_c och φ_m .

$$\varphi_m = 180^\circ + \angle L(j\omega_c) = 180^\circ + \angle F(j\omega_c) + \angle G(j\omega_c) =$$

$$180^\circ + \angle G(j\omega_c) + \varphi^* \Rightarrow \boxed{\varphi^* < 90^\circ}$$

$$\varphi(\omega) = \angle F(j\omega) = \text{atan}(\omega\tau_d) - \text{atan}(\omega\beta\tau_d) \geq 0$$

$$\varphi(\omega) = \frac{\tau_d}{1 + (\tau_d\omega)^2} - \frac{\beta\tau_d}{1 + (\beta\tau_d\omega)^2} \Rightarrow \omega^* = \frac{1}{\tau_d\sqrt{\beta}}$$



$$\tan \varphi^* = \frac{\frac{1}{\sqrt{\beta}} - \sqrt{\beta}}{1 + \frac{1}{\sqrt{\beta}} \cdot \sqrt{\beta}} \Rightarrow \beta = \left(\frac{1 - \sin \varphi^*}{\cos \varphi^*} \right)^2$$

$$\omega_c = \omega^* = \frac{1}{\tau_d\sqrt{\beta}} \Rightarrow \tau_d = \frac{1}{\omega_c\sqrt{\beta}}$$

$$|L(j\omega_c)| = |G(j\omega_c)| \cdot K_p \cdot \frac{|1 + j/\sqrt{\beta}|}{|1 + j\sqrt{\beta}|} = |G(j\omega_c)| \cdot \frac{K_p}{\sqrt{\beta}}$$

$$\Rightarrow \boxed{K_p = \frac{\sqrt{\beta}}{|G(j\omega_c)|}}$$

EX $G(s) = \frac{s-1}{s+2} \cdot \frac{s+1}{s+1} = \frac{s+1}{s+2} \left(\frac{s-1}{s+2} \right) \rightarrow$

$G_{\text{minfas}} = \frac{s+1}{s+2}$

Samma beloppshfunktion.

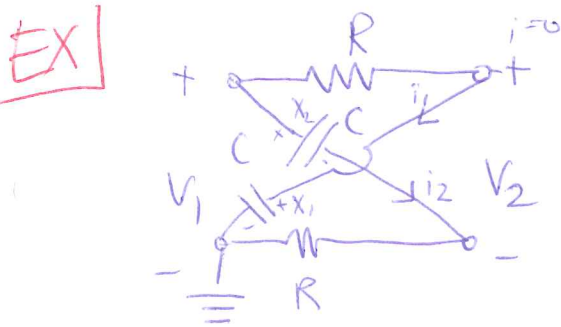
EX $G(s) = \frac{e^{-\tau s}}{s+1} \Rightarrow G(j\omega) = \frac{e^{-j\omega\tau}}{1+j\omega} \Rightarrow$

$|G(j\omega)| = \frac{1}{\sqrt{1+\omega^2}}$ $\angle G(j\omega) = -\arctan \omega - \omega\tau$

Padé-approximation:

belopp 1 för alla frekvenser

$e^{-\tau s} = \frac{e^{-\tau s/2}}{e^{\tau s/2}} = \frac{1 - \tau s/2}{1 + \tau s/2} \left(= \frac{1 - \tau s/2 + \tau^2 s^2/2! - \dots}{1 + \tau s/2 + \tau^2 s^2/2! + \dots} \right)$



$V_1 - R i_1 - X_1 = 0$
 $V_1 - X_2 - R i_2 = 0$
 $V_1 - R i_1 - V_2 - R i_2 = 0$
 $\begin{cases} R C \dot{X}_1 + X_1 = V_1 \\ R C \dot{X}_2 + X_2 = V_1 \end{cases}$

$\dot{X} = \begin{bmatrix} -\frac{1}{RC} & 0 \\ 0 & -\frac{1}{RC} \end{bmatrix} X + \begin{bmatrix} \frac{1}{RC} \\ \frac{1}{RC} \end{bmatrix} V_1$ $V_2 = V_1 - RC(\dot{X}_1 + \dot{X}_2) = V_1 - 2V_1 + X_1 + X_2 = X_1 + X_2 - V_1$

$V_2 = [1 \quad 1] X - V_1$

$G(s) = C(sI - A)^{-1}B + D = (1 \quad 1) \begin{pmatrix} s + \frac{1}{RC} & 0 \\ 0 & s + \frac{1}{RC} \end{pmatrix}^{-1} \begin{pmatrix} 1 \\ 1 \end{pmatrix} \frac{1}{RC} - 1$

$= (1 \quad 1) \begin{pmatrix} \frac{1}{s + \frac{1}{RC}} & 0 \\ 0 & \frac{1}{s + \frac{1}{RC}} \end{pmatrix} \begin{pmatrix} 1 \\ 1 \end{pmatrix} \frac{1}{RC} - 1 = 1 =$

Def • Känslighetsfunktionen $S(s) = \frac{1}{1+L(s)}$ ($S = (I+L)^{-1}$)

• Komplementära känslighetsfunktionen

$$T(s) = \frac{L(s)}{1+L(s)} \quad (T = (I+L^{-1})L)$$

(Sätt ex. $r(t)=0$)

$$Z(s) = T(s)N(s) + S(s)W(s) \quad S(s) + T(s) = 1$$

Man "gör" F så att L blir $\begin{cases} \text{stor för LF} \\ \text{liten för HF} \end{cases}$

För LF $S \approx \frac{1}{L}$ litet.

För HF $S \approx L$ litet.

Bodes integralsats

• Beträkta fallet ~~med~~ utan poler hos $L(s)$ i MHP

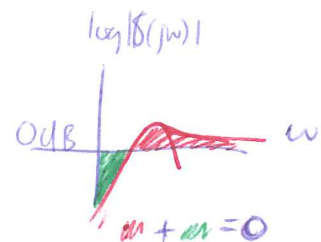
• $G(s)$ har fler poler än nollställen

• ~~Analog~~ I praktiken är $Y(s) = \frac{1}{1+Ts} Z(s)A - N(s)$

$$\begin{aligned} \dot{x} &= Ax + Bu \\ y &= Cx \end{aligned}$$

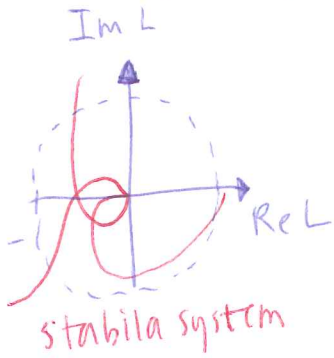
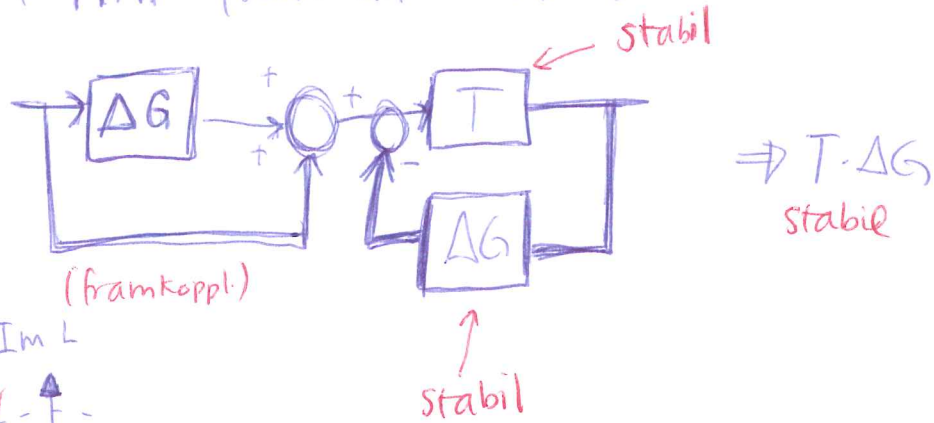
$$Y(s) \approx \frac{Z(s)}{1+Ts} \rightarrow \frac{\delta}{s}$$

$L \rightarrow \frac{\text{konstant}}{s^2}$



$$20 \int_0^{\infty} \log|S(j\omega)| d\omega = 0 \rightarrow \int_0^{\infty} |S|_{dB} d\omega$$

Vanligen saknar ΔG poler i HHP, även om G_0 har ∞ poler i HHP (som då återfins i modellen G)



$$|T(j\omega)\Delta G(j\omega)| < 1 \quad \forall \omega \geq 0$$

$$|T(j\omega)\Delta G(j\omega)| \leq |T(j\omega)| \cdot |\Delta G(j\omega)| < 1$$

$$|\Delta G(j\omega)| < \frac{1}{|T(j\omega)|} \quad \forall \omega \geq 0$$

Lägförstärkningsatsen

EX $L = \frac{2s+1}{s^2}$

Kaskadreglering

EX $G_1 = \frac{1}{1+10s} = G_2$

$G_1 F_1 = \gamma_1 \cdot \frac{1+10s}{10s} \quad G_1 F_1 = \frac{\gamma_1}{10s}$

$$\frac{G_1 F_1}{1+G_1 F_1} = \frac{\gamma_1}{10s + \gamma_1} = \frac{1}{1 + \frac{10}{\gamma_1} s} \quad \text{t.ex. } \gamma_1 = 5$$

$$= \frac{1}{1+2s}$$

$$\begin{bmatrix} u_1 \\ u_2 \end{bmatrix} = \begin{bmatrix} u_1^{ref} \\ u_2^{ref} \end{bmatrix} - \begin{bmatrix} l_{11} & l_{12} & l_{13} \\ l_{21} & l_{22} & l_{23} \end{bmatrix} \begin{bmatrix} x_1 \\ x_2 \\ x_3 \end{bmatrix}$$

$$u = u^{ref} - LX$$

Tillståndsekv. för återkoppl. system

$$\dot{x} = Ax + B[u^{ref} - LX] = \underbrace{(A - BL)}_{A_c} x + Bu^{ref}$$

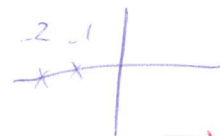
$m \times n$ st P-reg. skall väljas.

Antag att $m=1$, dvs $u \in \mathbb{R}$
 A_c $n \times n \rightarrow n$ st-egenvärden $\rightarrow n$ st. poler.

EX $\dot{x} = \begin{pmatrix} 0 & 1 \\ 0 & -1 \end{pmatrix} x + \begin{pmatrix} 0 \\ 1 \end{pmatrix} u$

$$A_c = A - BL \quad \begin{pmatrix} 0 & 1 \\ 0 & -1 \end{pmatrix} - \begin{pmatrix} 0 \\ 1 \end{pmatrix} (l_1 \ l_2) = \begin{pmatrix} 0 & 1 \\ -l_1 & -1-l_2 \end{pmatrix}$$

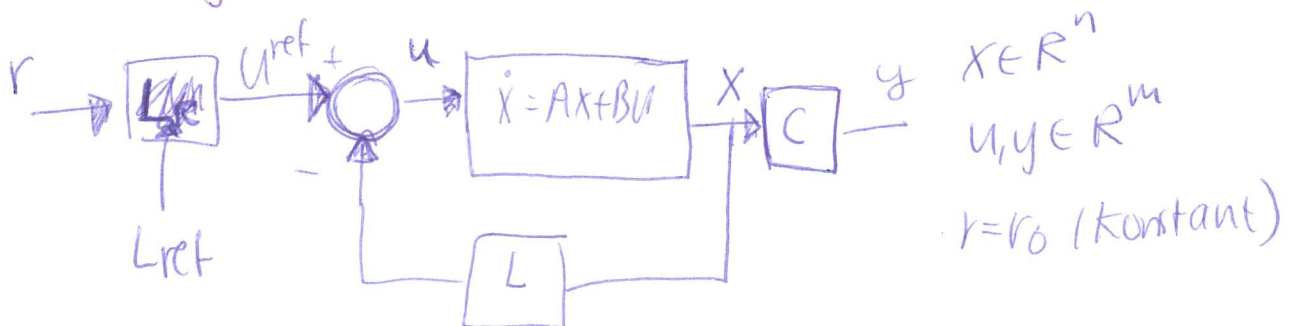
$$\begin{vmatrix} \lambda - 1 & \\ l_1 & \lambda + 1 + l_2 \end{vmatrix} = \lambda^2 + (1+l_2)\lambda + l_1$$



polplacering

$$P(\lambda) = (\lambda+2)(\lambda+1) = \lambda^2 + 3\lambda + 2 \rightarrow l_1 = 2 \quad l_2 = 2$$

Skalning av referensen:



$$\dot{x} = (A - BL)x + BL_{ref}r_0$$

$$y(\infty) = \lim_{s \rightarrow 0} sY(s) = \lim_{s \rightarrow 0} s C (sI - A + BL)^{-1} B L_{ref} \frac{1}{s} \cdot r_0 =$$

$$\boxed{C(-A + BL)^{-1} B L_{ref} r_0} = r_0 = I$$

Linjär kvadratisk optimering

$$\dot{x}(t) = Ax(t) + Bu(t)$$
$$y(t) = Cx(t)$$

Vi antar att tillst. modeller är minimal, dvs styr- och observerbar samt att u och y har samma dimension.

$$u = L_{ref} r - LX$$

($u = -LX$)

Metoden innebär att en kvadratisk kostnads-

funktional J minimeras med avseende på reglermatrisen L under ett linjärt bivillkor, nämligen $\dot{x} = Ax + Bu$. Vi betraktar endast den enklaste typsituationen, att systemet är i 'vila' nära $x=0$, men kan påverkas av impulsformade störningar $\Rightarrow x \neq 0$

$$J = \int_0^{\infty} [x^T(t) Q_1 x(t) + u^T(t) Q_2 u(t)] dt$$

$Q_2 > 0$ nödv. villkor
 $Q_1 > 0$ tillr. villkor

$$Q_1^T = Q_1, Q_2^T = Q_2$$

$$\text{Välj } L = Q_2^{-1} \cdot B^T \cdot P$$

På den positivt definita lösningen till den algebraiska Riccati-ekvationen

$$0 = A^T P + PA + Q - PBQ^{-1} B^T P$$

$$P^T = P$$

$$\begin{cases} \dot{\xi} = f(\xi, \theta) & \psi = h(\xi) \\ \xi = \xi_0 + \Delta \xi y \\ \theta = \theta_0 + \Delta \theta u \\ \psi = \psi_0 + \Delta \psi y \end{cases}$$

20/5

Tillståndskonstruktion

systemstyrning

systemet

$$\begin{cases} \dot{x}(t) = Ax(t) + Bu(t) + Nw(t) \\ z(t) = Mx(t) \\ y(t) = Cx(t) + n(t) \end{cases}$$

reglerstorheten
mätstorheten (M ofta = C)

- Vi förutsätter inte längre att vi känner x .
- Vi: $-||-||-$ u och y
- Vi antar att störningarna är obetydliga och kan ignoreras.

$$\frac{d\hat{x}}{dt} = A\hat{x} + Bu + K[y - C\hat{x}]$$

simulensdelen \leftarrow observeringsdelen

$$\frac{d}{dt} \hat{x}(t) = (A - KC) \hat{x}(t) + Bu(t) + Ky(t)$$

Antag att $\dim [C] = 1 \times n$ dvs $y \in \mathbb{R}$: speciella egenv. till $A - KC \rightarrow K$ enm. dist.

$$A - KC = \begin{bmatrix} & \\ & \end{bmatrix} - \begin{bmatrix} & \\ & \end{bmatrix} \begin{bmatrix} 1 \times n \\ & \end{bmatrix}$$

$$(1) \frac{d}{dt} x(t) = Ax(t) + Bu(t) \quad x(0) = x_0$$

$$(2) \frac{d}{dt} \hat{x}(t) = A\hat{x}(t) + Bu(t) + K[y(t) - C\hat{x}(t)] \quad \hat{x}(0) = \hat{x}_0$$

Inför störringfelet $\tilde{x}(t) = x(t) - \hat{x}(t)$
 $\tilde{x}(0) = x_0 - \hat{x}_0 \neq 0$

$$\frac{d}{dt} (x - \hat{x}) = A(x - \hat{x}) - K[Cx - C\hat{x}]$$

$$\rightarrow \frac{d}{dt} \tilde{x} = (A - KC) \tilde{x} \quad \tilde{x}(0) = x_0 - \hat{x}_0$$

$$\tilde{x}(t) = e^{(A - KC)t} \tilde{x}(0)$$

Om alla egenv. till $A - KC$ ligger i VHP, gäller att $\|\tilde{x}(t)\| \rightarrow 0$ då $t \rightarrow \infty$ även om $x_0 - \hat{x}_0 \neq 0$

EX $\dot{\hat{x}}(t) = \hat{x}(t) + v_1(t)$
 $y(t) = \hat{x}(t) + v_2(t)$

$$E v_1 = 0 = E v_2 = E v_1 v_2$$

$$E v_1^2 = \lambda^2 \quad E v_2^2 = \sigma^2$$

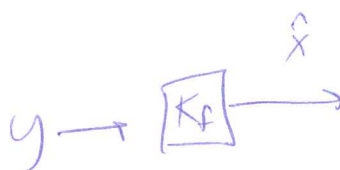
$$2P + \lambda^2 = \frac{1}{\sigma^2} \cdot P^2$$

$$P = \sigma^2 \left(\pm \sqrt{\sigma^4 + \lambda^2 \sigma^2} \right)$$

$$K = P \cdot 1 \cdot \sigma^{-2} = 1 + \sqrt{1 + \left(\frac{\lambda}{\sigma}\right)^2}$$

$$\frac{d}{dt} \hat{x} = \hat{x} + K [y - \hat{x}] = [1 - K] \hat{x} + K y$$

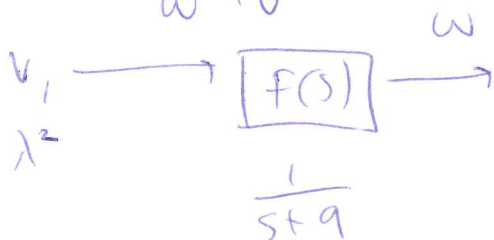
$$\frac{\hat{x}(s)}{y(s)} = \frac{K}{s + 1 - K} = \frac{1 + \sqrt{1 + \frac{\lambda^2}{\sigma^2}}}{s + \sqrt{1 + \frac{\lambda^2}{\sigma^2}}}$$



v_2 är vitt brus, $w(t)$ "färgad" störning

$$E(w) = 0 \quad E w^2 = \lambda^2$$

$$\Phi(\omega) = \frac{\lambda^2}{\omega^2 + \nu^2}$$



$$\frac{dx_1}{dt} = x_1 + x_2$$

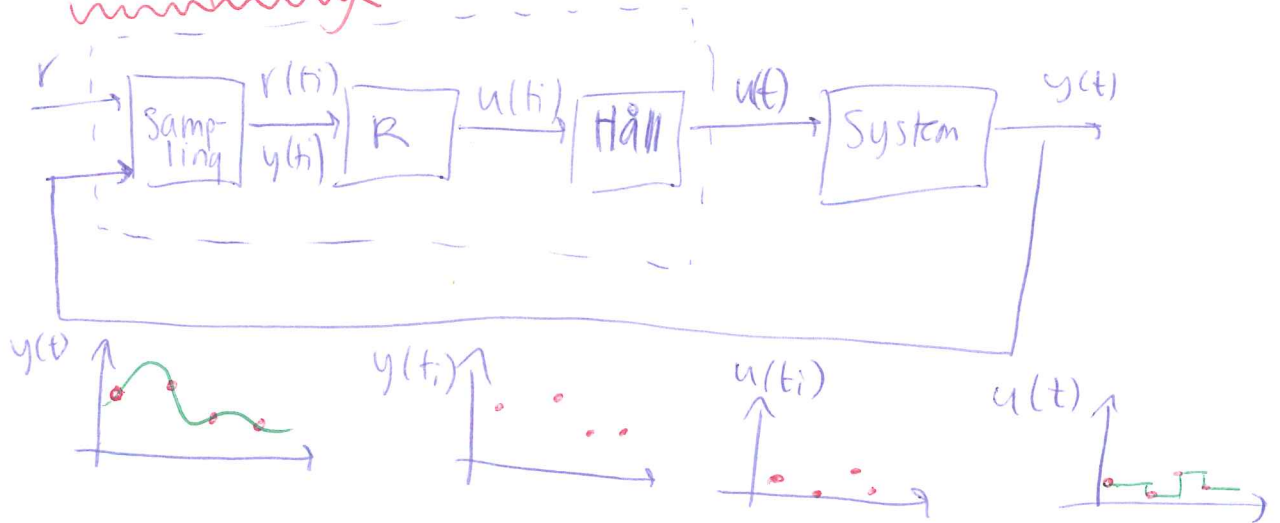
$$\frac{dx_2}{dt} = -\nu x_2 + v_1$$

$$x = \begin{bmatrix} x_1 \\ x_2 \end{bmatrix} \quad \dot{x} = \begin{bmatrix} 1 & 1 \\ 0 & -\nu \end{bmatrix} x + \begin{bmatrix} 0 \\ 1 \end{bmatrix} v_1$$

$$y = [1 \ 0] x + v_2$$

22/5

Sampling



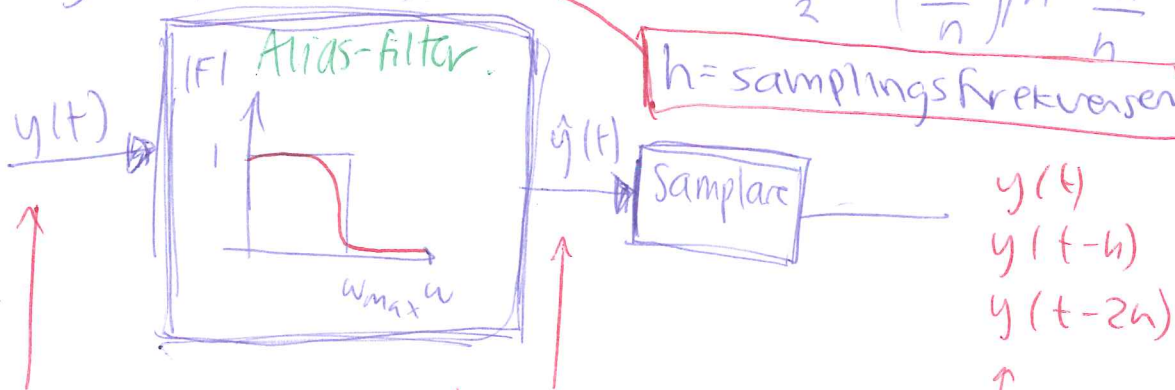
Antag att $G_R(s)$ är beräknad, och att frekvenser högre än ett visst värde ω_{max} inte behöver beaktas

1° $\omega_{max} = \omega_N$

3° $h = \pi / \omega_{max}$

2° $\omega_N = \frac{\omega_s}{2} = \left(\frac{2\pi}{n}\right) / h = \frac{\pi}{h}$

$h = \text{samplingsfrekvensen}$



kontinuerliga (ofiltrerade) mätvärden → filtrerade mätvärden

↑ diskreta data

Sampla, efter att först ha filtrerat bort frekvenser $> \omega_N$

$$F(s) = K \frac{s+1}{s+0,2}$$

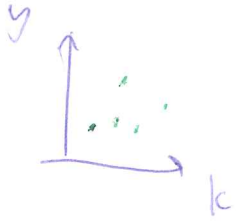
$$(s+0,2)U(s) = K(s+1)E(s)$$

$$U(s) = F(s)E(s)$$

$$\left[\frac{U-U^-}{\Delta t} + 0,2U \right] = K \left[\frac{E-E^-}{\Delta t} \right] + KE$$

$$\frac{u(t) - u(t-\Delta t)}{\Delta t} \approx \frac{du}{dt}$$

$$\mathcal{Z}\{y(k)\} = \sum_{k=0}^{\infty} y(k)z^{-k} = Y(z)$$



$$\mathcal{Z}\{y(k-l)\} = z^{-l} \mathcal{Z}\{y(k)\}$$

$$X(z) = z^{-1} X(z) + h \cdot z^{-1} E(z)$$

$$(z-1)X(z) = hE(z) \rightarrow X(z) = \frac{h}{z-1} E(z)$$

$$V(z) = K_i X(z) + K_p E(z) = \underbrace{\left[K_p + \frac{K_i h}{z-1} \right]}_{PI} E(z)$$

EX $G(s) = \frac{V}{s+V} \quad V > 0$

hillst. form $\dot{x}(t) = -Vx(t) + Vu(t)$

$$\Phi(t) = e^{At} = e^{-Vt}$$

$$X(k) = e^{-Vh} x(k-1) + \int_{kh-h}^{kh} e^{-V(kh-t)} V u(k-1) dt$$

$$= e^{-Vh} x(k-1) + (1 - e^{-Vh}) u(k-1)$$

$$G(z) = \frac{1 - e^{-Vh}}{z - e^{-Vh}} = \frac{b(h)}{z - a(h)}$$

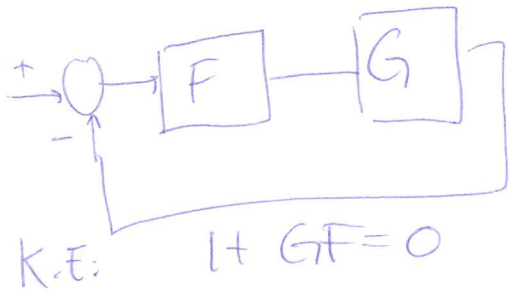
$$\mathcal{Z}\{f(k)\} = f(0) + f(1)z^{-1} + f(2)z^{-2} \dots$$

$$f(k) = \begin{cases} 1 & \text{för } k \geq 0 \\ 0 & k < 0 \end{cases}$$

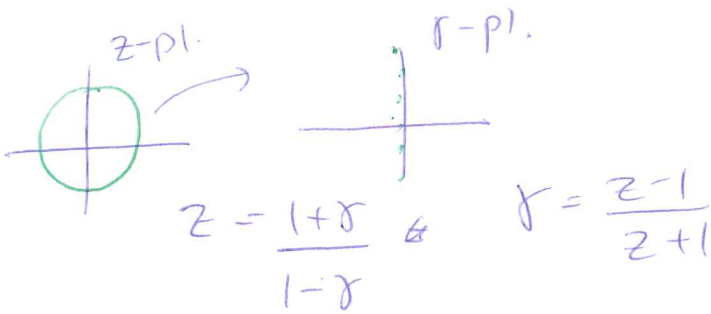
(enhetssteg)

$$F(z) = 1 + z^{-1} + z^{-2} \dots = \frac{1}{1-z^{-1}} = \frac{z}{z-1}$$

EX1 $G(z) = \frac{1}{z-1}$ $F(z) = a + \frac{b}{z-1}$



$$z^2 + (a-2)z + b-a+1 = 0$$



$$w = \frac{e^{i\varphi} - 1}{e^{i\varphi} + 1} = \frac{e^{i\varphi/2} - e^{-i\varphi/2}}{e^{i\varphi/2} + e^{-i\varphi/2}} = \frac{\sinh i\varphi/2}{\cosh i\varphi/2}$$

(på cirkelranden) $= \frac{i \sin \varphi/2}{\cos \varphi/2} = i \tan \varphi/2$

$$\Rightarrow (4 - 2a + b)w^2 + 2(a - b)w + b + 1 = 0$$

{ Rouths kriterium - alla koeff > 0 }

$$\begin{cases} 4 - 2a + b > 0 \\ a - b > 0 \\ b + 1 > 0 \end{cases}$$

$$\begin{aligned} b &> 2a - 4 \\ b &< a \\ b &> -1 \end{aligned}$$

